

PAPER DETAILS

TITLE: Sac Malzemelerin Boyanabilme Kabiliyetlerine Temper Haddeleme Ezme Miktarinin Etkisi

AUTHORS: Batuhan ÖZAKIN,Emir YILMAZ

PAGES: 517-530

ORIGINAL PDF URL: <https://dergipark.org.tr/tr/download/article-file/2887086>

Sac Malzemelerin Boyanabilme Kabiliyetlerine Temper Haddeleme Ezme Miktarının Etkisi

Batuhan ÖZAKIN^{1*}, Emir YILMAZ²

Öz

Boyalı çelik sac malzemelerin yüzeyleri otomotiv, beyaz eşya vb. sektörlerde ürünün son kalitesini ortaya koyduğundan tüketicinin dikkate aldığı önemli unsurlardan biridir. Bu sektörlerde kullanılan çelik sac malzemeler genellikle soğuk haddeleme üretim sürecinin son basamağında boyanabilme ve şekillendirme açısından pürüzlü olarak üretilir. Üzerinde meydana gelen pürüzlülük profili sac malzemelerin boyanabilme kabiliyetini etkilemektedir. Aynı zamanda sac malzemelerin farklı pürüzlülüklerde temin edilebilmesinden dolayı yapışma mukavemetlerinin ve boyanabilme kabiliyetlerinin farklı olduğu ortadadır. Ayrıca yine haddeleme ve yüzey pürüzlülük parametreleri boyalı kaplamaların malzeme yüzeyine yapışma mukavemetini ve boyanabilme kabiliyetini etkilemektedir. Bu çalışmada HC420LA sac malzemelerin boyanabilme kabiliyetlerine temper haddeleme ezme miktarının etkisi araştırılmıştır. İlk olarak sac malzeme numuneleri farklı ezme miktarlarıyla temper haddeleme işlemeye tabi tutulmuştur. Temper haddelenmiş HC420LA sac malzeme numunelerinin yüzeylerinin pürüzlülük parametreleri belirlenmiştir. Farklı ezme miktarları ile haddelenmiş ve farklı pürüzlülükler sahip çelik sac malzemeler poliüretan akrilik esaslı boyalı kaplamaların yüzeylerinin yapışma mukavemetleri, dolayısıyla boyanabilme kabiliyetleri çapraz kesim (cross-cut) testinden elde edilmiştir. Temper haddeleme ezme miktarı arttıkça yüzeyin pürüzlülük profilinde değişimler meydana gelmiştir. Temper haddeleme ezme miktarı arttıkça (%0-1 aralığında) boyanın yapışma mukavemeti artmış ve %1 ezme miktarının üzerindeki artışlarda boyanın yapışma mukavemetinin azaldığı tespit edilmiştir. Tepelerin yüksekliklerinin (R_{pk}) ve vadilerin derinliklerinin (R_{vk}) boyanın yapışma mukavemetinde oldukça etkili olduğu sonucuna varılmıştır.

Anahtar Kelimeler: Sac malzemeler, Temper haddeleme, Yüzey pürüzlülüğü, Boyanabilme kabiliyeti, Çapraz kesme (Cross-Cut) testi.

The Effect of Reduction Ratio of Temper Rolling on the Paintability of Sheet Materials

Abstract

Since the surfaces of painted steel sheet materials reveal the final quality of the product in sectors such as automotive, white goods, etc., it is one of the important factors that the consumer takes into account. Steel sheet materials used in these sectors are generally produced as rough in the last step of the cold rolling manufacturing process in terms of dyeability and shaping. The roughness profile on the surface affects the paintability of sheet materials. At the same time, since sheet materials can be supplied in different roughnesses, it is obvious that their adhesion strength and paintability are different. In addition, rolling parameters and surface roughness parameters affect the adhesion strength and paintability of paints and coatings to the material surface. In this study, the effect of reduction ratio of skin-pass rolling on the paintability of HC420LA sheet materials was investigated. Firstly, the sheet material samples were subjected to skin-pass rolling process with different crushing amounts. The roughness parameters of the surfaces of the skin-pass rolled HC420LA sheet material samples were determined. Steel sheet materials rolled with different crushing amounts and having different roughness are coated with polyurethane acrylic based paint. Finally, the adhesion strength of the painted surfaces, thus their ability to be painted, were obtained from the cross-cut test. As the reduction ratio of skin-pass rolling increased, changes occurred in the roughness profile of the surface. It was determined that the adhesion strength of the paint decreased as the reduction ratio of skin-pass rolling increased (in the range of 0-1%) and the adhesion strength of the paint increased with an increase above 1% reduction ratio. It was concluded that the peaks heights (R_{pk}) and valleys depths (R_{vk}) were highly effective on the adhesion strength of the paint.

Keywords: Sheet materials, Skin-pass (temper) rolling, Surface roughness, Paintability, Cross-Cut test.

¹ Samsun Üniversitesi, Kavaklı Meslek Yüksekokulu, Samsun, Türkiye, batuhan.ozakin@samsun.edu.tr

² Samsun Üniversitesi, Kavaklı Meslek Yüksekokulu, Samsun, Türkiye, emirbyc1616@outlook.com

¹<https://orcid.org/0000-0003-1754-949X>

¹<https://orcid.org/0000-0002-5967-0223>

1. Giriş

Boyalı çelik sac yüzeylerin görselliği, özellikle otomotiv, beyaz eşya vb. endüstrilerde, genellikle ürünün kalitesini ortaya koyduğundan her zaman yakından ilgilenilmiştir. Yüzeyin görselliği açısından çevresel etkilerde önemli zorluklardan biridir. Genellikle pürüzlülük ne kadar yüksek olursa, şekillendirme yeteneğinin o kadar iyi olduğu, ancak boyamadan sonraki görünümün daha kötü olduğu gözlemlenir. Artan dalgalılık ve profil yüksekliği ile ilişkili tüm pürüzlülük parametreleri ile boyama sonrası yüzey görünüm kalitesinin azlığı bulunmuştur. Pik ve vadi yoğunluğu pürüzlülük parametrelerinin artmasıyla boyalı görünümünün iyileştiği raporlanmıştır. Metal şekillendirmede çelik sacların yüzey yapısı, yaygın olarak çeşitli yöntemlerle pürüzlendirilen merdaneler ile elde edilmektedir. Bu yöntem soğuk haddeleme sürecinin son basamağı olan temper haddeleme prosesi olarak bilinir. Temper haddeleme, tavlanan soğuk haddelenmiş şerit veya sac malzeme özelliklerinin, düzüğünün ve yüzey morfolojisinin müşteri gereksinimlerini karşılayacak şekilde uyarlandığı son haddeleme aşamasıdır. Temper haddeleme ile oluşturulan yüzeyin işlevi, bitmiş ürün üzerinde mükemmel bir boyalı görünüm elde etmek içindir (Pfestorf ve ark., 1998; Scheers ve ark., 1998; Plicht ve ark., 2007; Nunes ve ark., 2014; Özakin ve Kurgan, 2019; Özakin ve Kurgan, 2022a).

Temper haddelemenin en önemli parametrelerinden biri ezme miktarıdır. Ezme miktarının değişimi sonucunda farklı pürüzlülük profiline sahip yüzeyler elde edilebilmektedir. Ezme miktarının artması ile yüzeyin pürüzlülük değeri genellikle artmaktadır (Wu ve ark., 2019; Özakin ve ark., 2021). Dolayısıyla piyasaya arz edilen sac malzemelerin farklı ezme miktarları ile üretiliği varsayılsa, ezme miktarı yüzey pürüzlülüğünü etkileyen en önemli parametrelerdir. Ayrıca ezme miktarının yüzey pürüzlülük özelliklerini değiştirmesinden dolayı boyalı ve kaplamaların sac malzeme yüzeyine yapışma mukavemetini de etkilemektedir. Metal şekillendirmede soğuk haddeleme ile üretilen çelik sacların yüzey yapıları farklı profil yüksekliğine sahip olabilmektedir. Dolayısıyla bu farklı yüzey pürüzlülük profilleri değerlendirildiğinde genel olarak, “Avrupa Otomobil Endüstrisi” üreticileri için SEP 1940 standardına göre otomotiv endüstrisinde kullanılan yassı ürün çelik sac malzeme yüzeyinin, aritmetik ortalama pürüzlülük (R_a) değeri $1.5 \mu\text{m}$ 'den az ve standartta tanımlanan tepe sayısının (R_{pc}) 50 cm^{-1} değerinden fazla olması istenmektedir (Scheers ve ark., 1998; Özakin, 2021). Bununla birlikte belirtilen sınırlamalar göz önüne alındığında farklı pürüzlülüğe sahip sac malzemelerin çevresel etkilere karşı boyalı gibi organik kaplamalar ile kaplanmasında yapışma mukavemetinin farklı olacağı bir gerçekktir. Ayrıca haddeleme parametreleri ve yüzey pürüzlülük parametreleri yapışma mukavemetini ve boyanabilme kabiliyetini etkileyecektir.

Literatür bilgisi dahilinde boyalı ve kaplamaların yapışma kabiliyetinin veya yapışma mukavemetinin incelendiği çalışmalar şu şekildedir. Almeida ve arkadaşları (1999), boyalı

haddeleme işleminden elde edilen farklı yüzey dokuları beş farklı katmanda boyanmış, boyanabilirlik testleri (derecelendirme ve spektral eğri) açısından dış görünüşleri değerlendirmiştir, soğuk işlenmiş saclardan elde edilen pürüzlülük parametreleri (2D ve 3D) ile ilişkilendirmiştir ve bazı eğilimler oluşturmuşturlardır. Araştırmacılar bu parametreler arasında bir ilişki olduğunu ve daha ayrıntılı çalışmalara ihtiyaç olduğunu belirtmişlerdir. Guo ve arkadaşları (2018), sıcak daldırma galvanizli %55Al-Zn合金ının şekillendirme, elektrokimyasal, eğilme, boyanabilme kabiliyeti vb. performansına kaplama içerisinde eklenen 0.5-4.0 mm çaplı boyutlarda pul ilavesinin etkilerini araştırmışlardır. Pul ilavesi ile hazırlanan boyalı numunelerin çapraz kesme (cross-cut) testi sonuçlarından farklı pul boyutlarına sahip numunelerin boyama katmanlarında pul pul dökülme olmadığını yani boyama kabiliyetinin %100 yeterli olduğunu göstermişlerdir. Schirmer ve arkadaşları (2018), farklı yöntemlerle ön işleme (kimyasal işlem, yaşlandırma, O₂-plazma) tabi tutulmuş esnek polietilen tereftalat (PET) altlık malzeme üzerine gümüş bir macun kaplama yapmışlar ve yapışma kalitesini çekme (pull-off) ve çapraz kesme (cross-cut) testi ile belirlemiştir. Kimyasal işlem uygulanan yüzeyde boyanın daha fazla miktarda söküldüğünü, O₂-plazma uygulanan yüzeyde ise en az miktarda sökülme olduğunu belirlemiştir. Ayrıca yapışma kabiliyetinin değerlendirilmesinde yeni bir değerlendirme önermişler ve her iki yöntemde de benzer sonuçlar almışlardır. Tüm literatür değerlendirildiğinde farklı pürüzlülüğe sahip sac malzemelerin çevresel etkilere karşı boya gibi organik kaplamalar ile kaplanması boyanabilme kabiliyetlerinin araştırılması ve ayrıca haddeleme parametreleri ile birlikte yüzey pürüzlülüğünün boyanabilme kabiliyetine etkisinin belirlenmesinin önem arz ettiği görülmektedir. Bununla birlikte sac malzemeler esasen temper haddeleme ile üretim süreci sonrasında nihai kullanıma sunulmaktadır. Çoğunlukla görsel olarak yüzeylerin pürüzlülüklerindeki farklılıkların belirlenmesi zor olduğundan bilinçsiz bir şekilde kullanılabilmektedir. Bu doğrultuda sac malzemelerin, üretim parametrelerinden ezme miktarının boyanabilme kabiliyeti etkisi hakkında yeterli bir bilgi bulunmamaktadır. Dolayısıyla bu durumun açıklığa kavuşturulması gerekmektedir.

Bu çalışmada HC420LA sac malzemenin boyanabilme kabiliyetine temper haddeleme ezme miktarının etkisini araştırmak için numuneler farklı ezme miktarlarıyla temper haddeleme işlemine tabi tutulmuştur. Temper haddelenmiş HC420LA sac malzeme numunelerinin boyanabilme kabiliyetleri çapraz kesim (cross-cut) testinden elde edilmiştir. Ezme miktarı ve yüzey pürüzlülüğünün sac malzemelerin üzerine uygulanan boya kaplamalarının yapışma mukavemetine etkisi değerlendirilmiş ve tartışılmıştır.

2. Materyal ve Metot

2.1. Malzeme

Çalışmada kullanılan malzeme, motorlu araçlarda yakıt tüketimi, CO₂ emisyonları ve ağırlıklarının azaltılabilmesi amacıyla kullanılan geleneksel yüksek mukavemetli çeliklerden (HSS), yüksek mukavemet düşük alaşım (HSLA) kalite çelik sac malzemeden (Rodionova ve ark., 2020). HSLA kalite sac malzemelerden HC420LA (ERD7140) kalite sac malzeme (1.0 mm kalınlık) bu çalışmada tercih edilmiştir. Bu kalite sac malzemenin kimyasal bileşimi ve mekanik özellikleri daha önce yapılmış olan bir çalışmada elde edilmiştir (Özakın ve Kurgan, 2021). Malzemenin kimyasal bileşimi ve çekme özelliklerini Tablo 1'de verilmektedir. Sac malzeme numuneleri, deneysel çalışmalar için 30 mm genişlik ve 250 mm uzunlukta kesilerek hazır hale getirilmiştir.

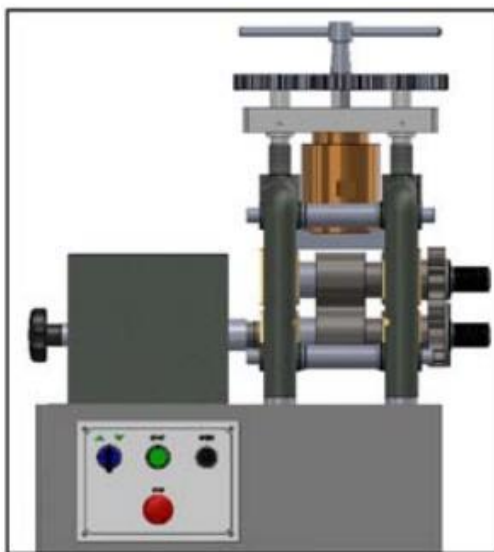
Tablo 1. HSLA kalite sac malzemenin kimyasal bileşimi ve çekme özelliklerini (Özakın ve Kurgan, 2021)

Kimyasal bileşim (% ağı.)														
Fe	C	Si	Mn	P	S	Cr	Ni	Cu	Mo	Al	Nb	Ti	V	
Dng	0.084	0.014	1.017	0.019	0.010	0.035	0.032	0.053	0.004	0.053	0.057	0.056	0.042	
Çekme özelliklerini														
Malzeme kalitesi	Standart	Akma mukavemeti (MPa)			Çekme mukavemeti (MPa)			Toplam uzama (%)						
HC420LA	EN 10268	445 ± 10			549 ± 8			18.4 ± 0.2						

2.2. Temper Haddeleme Deneyleri

Temper haddeleme işlemi sac malzemeye %0.0-%5.0 aralığında ezme miktarı verilerek gerçekleştirilir (Çolak ve Kurgan, 2018). Deneysel çalışmada özel olarak imal edilen haddeleme düzeneği kullanılmıştır. Haddeleme düzeneği 1.5 kW güçe sahiptir. 0-100 dev/dk aralığındaki haddeleme hızlarında çalışabilmektedir. 2'li merdane düzeneğine sahip düzenekte merdaneler 75 mm çapında ve 50 mm uzunluğundadır. Merdane çiftleri soğuk iş takım çeliğinden üretilmiş ve elmasla özel olarak pürüzlendirilmiştir (Özakın ve ark., 2021; Çolak, 2021). Merdane çiftinin aritmetik ortalama pürüzlülük değeri 3.4 µm'dir. Deney düzeneğinin şematik resmi Şekil 1'de gösterilmektedir. Bu çalışma kapsamında dört farklı ezme miktarı ile malzemeler temper haddeleme testine tabi tutularak yüzeylerine pürüzlülük transfer edilmiştir. Temper haddeleme testleri sonrasında sac malzeme yüzeylerine ait pürüzlülük parametreleri, Mitutoyo SJ-410 pürüzlülük ölçüm cihazı kullanılarak ölçülmüştür. Çalışmada pürüzlülük parametrelerinden R_a (aritmetik ortalama pürüzlülük), R_k (çekirdek pürüzlülüğü), R_{pk} (çekirdek pürüzlülük üzerinde bulunan tepelerin

yüksekliği) ve R_{vk} (çekirdek pürüzlülük altında bulunan vadilerin derinliği) dikkate alınmıştır (Özakın ve Kurgan, 2020).



Şekil 1. Temper haddeleme deney düzeneği (Çolak, 2021)

2.3. Yüzeylerin Boyanması ve Çapraz Kesim (Cross-Cut) Testi

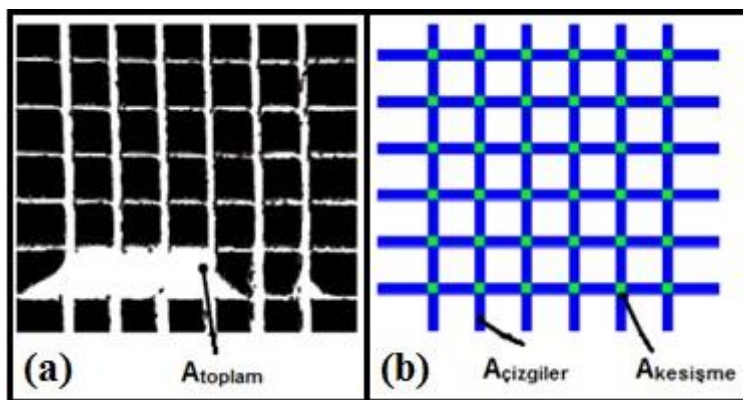
Yüzeylerin boyanması aşamasında polietilen akrilik esaslı otomotiv boyası piyasadan temin edilmiştir. Bu temin edilen boyalar karışımı püskürtme tabancası kullanılarak numuneler üzerinde homojen bir film tabaka oluşturacak şekilde yüzeye püskürtülmüştür. Boya tabakası astarlama işlemi dahil olmak üzere 3 kat uygulanmış ve her bir kat için kurutma işlemi 24 saat oda sıcaklığında sağlanmıştır. Boya tabakasının kalınlığı sac malzemenin boyaya öncesi ve sonrası kalınlığı mikrometre ile ölçüлerek $60\pm5 \mu\text{m}$ olarak hazırlanmıştır.

Yapışma mukavemeti ve dolayısıyla boyanabilme kabiliyeti, çapraz kesme (cross-cut) testi ile belirlenmiştir. Bu testin uygulama aşamasında numuneler ilk olarak 3 kat boyalı tabakalar ile kaplanmıştır. Boyanan sac malzeme numuneleri fırça ile temizlenmiş ve ardından yüzey kareleme-kesme işlemine tabi tutulmuştur. Kareleme-kesme işlemi uygulanan kaplama yüzeylerine adezyon bandı yapıştırılmış ve 90° lik açı ile yüzeyden sökülmüştür. Sökülen yüzeyin şekline göre (Şekil 2) yapışma mukavemeti, Denklem (1)'de yerine konularak tayin edilmiş ve yapışma mukavemeti belirlenmiştir.

$$A_{\text{sökülen}}(\%) = \frac{A_{\text{toplam}} - (A_{\text{çizgiler}} - A_{\text{kesişme}})}{A_{\text{resim}} - (A_{\text{çizgiler}} - A_{\text{kesişme}})} \times 100 \quad (1)$$

Denklemde; A_{toplam} : Şekil 2.a'daki beyaz bölgelerin, A_{resim} : Şekil 2.a'daki siyah bölgenin alanıdır. En başta yüzeyin kareleme-kesme işleminden meydana gelen alanlardan $A_{\text{çizgiler}}$: malzeme

yüzeyinden kesilen alanı (Şekil 2.b), A_{kesişme} ise kesişen alanları (Şekil 2.b) bir defa hesaba katılması için kullanılan alanları tanımlamaktadır (Schirmer ve ark., 2018).



Şekil 2. Yapılaşma mukavemetinin belirlenmesi (Schirmer ve ark., 2018)

3. Bulgular ve Tartışma

Temper haddeleme testleri dört farklı ezme miktarı ile gerçekleştirılmıştır. Temper haddeleme testleri sonrasında malzeme numunelerinde ezme miktarı Denklem (2) yardımıyla hesaplanmıştır. Bu denklemde r₀; numunelerin haddeleme işlemi öncesinde kalınlığı iken r_s; haddeleme sonrasında malzemenin kalınlığıdır. Malzeme numunelerinin kalınlıkları hassas mikrometre ile ölçüлerek sac malzemelerde meydana gelen ezme miktarları ve numunelerin isimlendirilmeleri Tablo 2'de verilmiştir. HC420LA kalite sac malzeme numunelerinde meydana gelen ezme miktarları değerlendirildiğinde; literatür ile uyumlu olarak %0.0-5.0 aralığında ezme miktarları ile malzemenin haddeleme işlemine tabi tutularak yüzeyine özel pürüzlülük profili kazandırılmıştır (Koh ve ark., 2010).

$$r (\%) = \frac{r_0 - r_s}{r_0} \times 100 \quad (2)$$

Tablo 2. Sac malzeme numunelerinde meydana gelen ezme miktarları ve numunelerin isimlendirilmeleri

Numune adı	Ezme miktarı (%)
S0	0.00
S025	0.25
S075	0.75
S275	2.75
S425	4.25

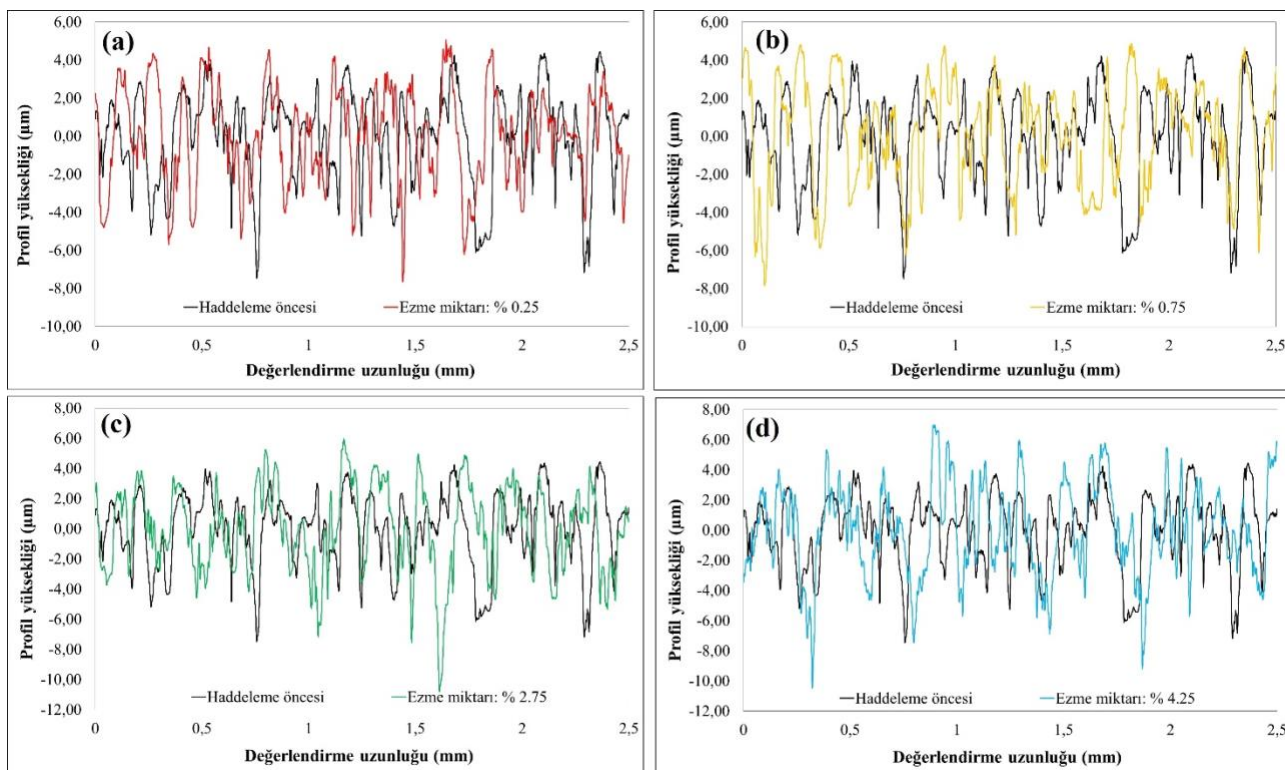
Farklı ezme miktarları ile temper haddelenen HC420LA sac malzeme numuneleri kesildikten sonra yüzeyleri Şekil 3'teki gibi görüntülenmiştir. Bu yüzeyler görsel olarak değerlendirildiğinde

ezme miktarı arttıkça yüzeyde meydana gelen pürüzlülüğün arttığı belirgin bir şekilde göze çarpmaktadır. Numuneler içerisinde S0 yani haddeleme öncesi numunenin yüzey pürüzlülük dokusunun %4.25 ezme miktarı ile haddelenen numuneye göre daha az olduğu görülmektedir.



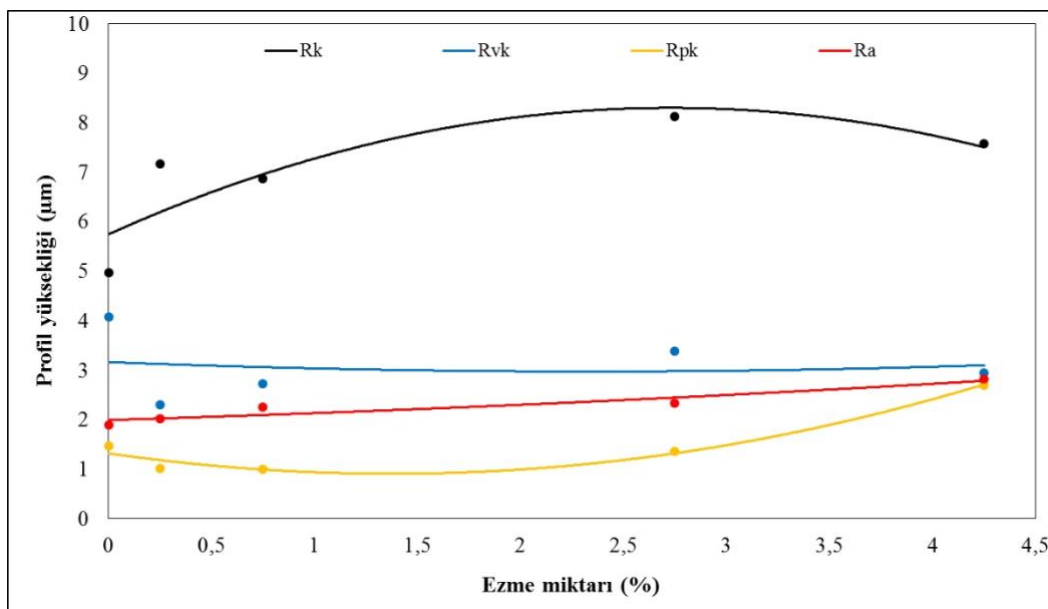
Şekil 3. Farklı ezme miktarları ile temper haddelenen HC420LA sac malzeme numunelerinin yüzey görüntüleri

Yüzeylerin boyanma işleminden önce sac malzeme numunelerinin yüzeylerinden pürüzlülük ölçümleri, çizgisel olarak hareket eden probun yüzeyi taraması sonucunda belirlenmiştir. Temper haddelenen yüzeylerden alınan pürüzlülük ölçümlerinden elde edilen pürüzlülük profilleri, Şekil 4'te gösterilmektedir. Bu durumda haddeleme öncesi malzeme yüzey pürüzlülük profili ile %0.25 ezme miktarı (Şekil 4.a), %0.75 ezme miktarı (Şekil 4.b), %2.75 ezme miktarı (Şekil 4.c) ve %4.25 ezme miktarı (Şekil 4.d) kullanılarak gerçekleştirilen temper haddeleme neticesinde yüzeylerdeki pürüzlülük profil yükseklikleri karşılaştırılmıştır. Ezme miktarı arttıkça haddeleme öncesi duruma göre profil yüksekliklerinde pozitif ve negatif bölgede bir artış gerçekleştiği görülmektedir. Profil yüksekliğindeki bu artış, pürüzlülük parametrelerinden aritmetik ortalama pürüzlülük (R_a) değerini artırmaktadır. Temper haddeleme ezme miktarının artması ile birlikte yüzey pürüzlülüğü artış göstermektedir. Ayrıca tepe yükseklikleri ile vadi derinliklerinde de bir artış meydana geldiği görülmektedir. Bu durumdan hareketle yüzey pürüzlülüğünün yükseklik profilini yansitan parametrelerinin değerlendirilmesi gerektiğini açıkça ortaya koymaktadır.



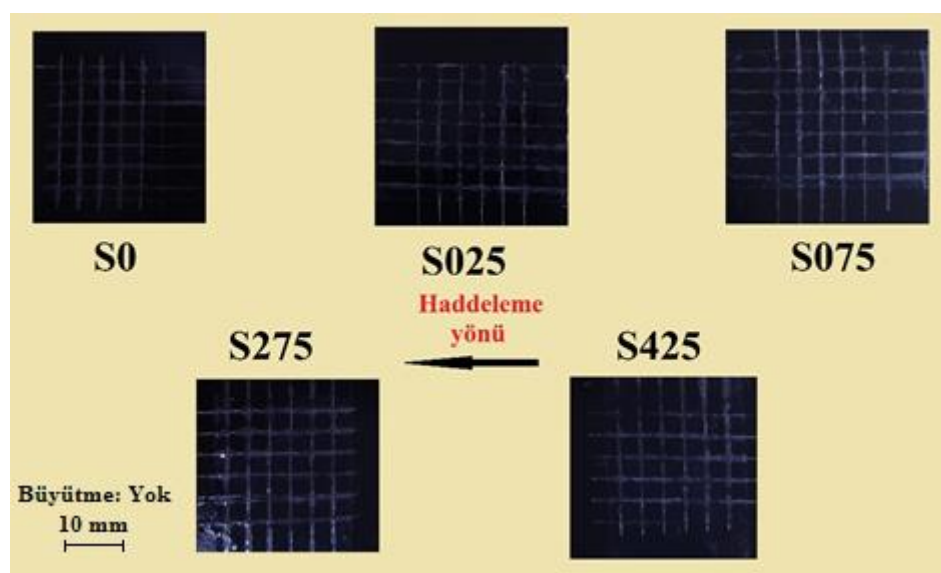
Şekil 4. Temper haddelenen yüzeylerden alınan pürüzlülük ölçümülerinden elde edilen pürüzlülük profilleri

Yüzey pürüzlülüğünün yükseklik profilini yansıtan parametreleri belirlenerek değerlendirilmiştir. Pürüzlülük ölçümelerinde R_a , R_k , R_{pk} ve R_{vk} parametreleri ölçülen parametreler arasındadır. Bu doğrultuda Şekil 5'te bu parametreler için ezme miktarı ile yüzey profil yüksekliği arasındaki grafiksel ilişki verilmektedir. R_a parametresi yüzeyin aritmetik ortalama pürüzlülüğünü göstermektedir. Sıklıkla kullanılan pürüzlülük parametrelerinden biridir. Ancak bazı durumlarda yüzeyi değerlendirmesinde tek başına yeterli değildir. Bundan ötürü çalışma temelinde yüzeyin pürüzlülük profilinin tepelerin yükseklikleri (R_{pk}) ve vadilerin derinlikleri (R_{vk}) boyama açısından önemli olmasından ötürü bu pürüzlülük parametreleri ölçülmüştür. Ayrıca tepe yükseklikleri ve vadi derinliklerinin yüzey profilinin değerlendirilmesinde yine çekirdek pürüzlülük değeri (R_k) vazgeçilmez olup bu dört parametrenin (R_a , R_k , R_{pk} ve R_{vk}) değerleri bu çalışmada ölçülmüştür. Şekil 5 değerlendirildiğinde ezme miktarı arttıkça çekirdek pürüzlülük (R_k) değeri ve aritmetik ortalama pürüzlülük (R_a) değeri genel olarak bir artış sergilemiştir. Bununla birlikte küçük ezme miktarlarında R_a ve R_k parametreleri daha hızlı bir artış içerisindeydir. Tepe yükseklikleri (R_{pk}) ve vadi derinlikleri (R_{vk}) parametreleri ise %0.75 ezme miktarına kadar azalma sergilerken, bundan daha büyük ezme miktarlarında R_{pk} ve R_{vk} parametrelerinde bir artış meydana geldiği gözlemlenmiştir. Bu durumun boyama kabiliyetine yani yapışma mukavemetine %0.75 ezme miktarına kadar olumlu etkisi olmuş ve bir sonraki aşamada değerlendirimesi cross-cut (çapraz kesim) testlerinin sonuçları ile birlikte değerlendirilmiştir.



Şekil 5. R_a , R_k , R_{pk} ve R_{vk} pürüzlülük parametreleri için ezme miktarı ile yüzey profil yüksekliği arasındaki ilişki

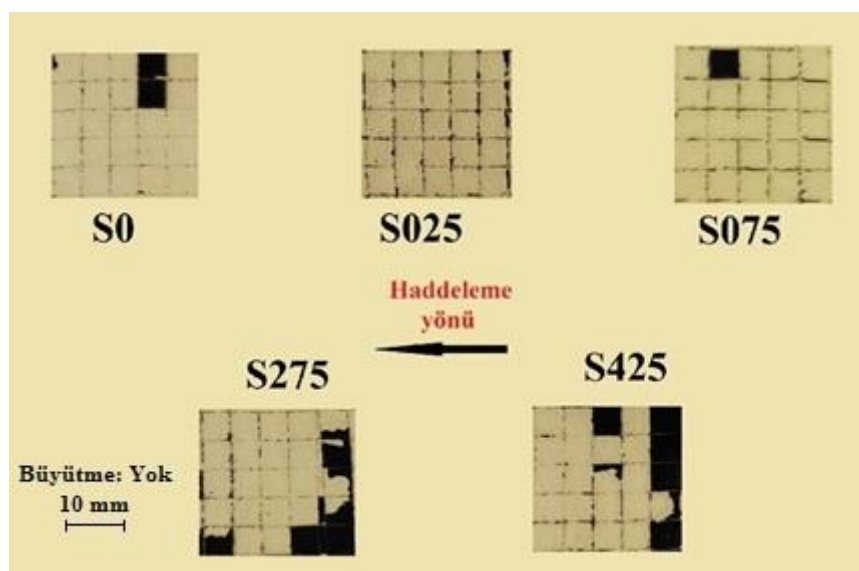
Temper haddelemede ezme miktarının boyanabilme kabiliyetine etkisini değerlendirmek için gerçekleştirilen cross-cut (çapraz kesim) testinde yüzeylerde meydana getirilen kareleme-kesme işlemi Şekil 6'da gösterilmiştir. Test gerçekleştirildeden önce malzeme üzerindeki boyalı tabakasının kalınlığı ölçülmüş ve yaklaşık $60 \pm 5 \mu\text{m}$ olarak tespit edilmiştir. Boyalı tabakasının kareleme-kesme işlemleri sonrasında yüzeylere adezyon bant yapıştırılmış ve bantların yüzeyden sökülmesi sonucunda boyanın yapışma mukavemeti tayin edilmiştir.



Şekil 6. Cross-cut (çapraz kesim) testinde yüzeylerde meydana getirilen kareleme-kesme işlemi

Çapraz kesim testi ile yüzeyden ayrılan bantların üzerinde kalan siyah katmanlar ile boyanın yapışma mukavemeti belirlenmiştir. Bu doğrultuda cross-cut (çapraz kesim) testi sonrası yüzeyden

ayrılan adezyon bantları Şekil 7'de gösterilmiştir. Yüzeylerden sökülen boyalı parçalarının alanları belirlenerek Denklem 1 yardımıyla yapışma mukavemetleri tayin edilmiştir. Temper haddeleme testleri neticesinde yüzeylerden sökülen alanlara ait çizelge Tablo 3'de verilmiştir. Sökülen alanların büyüklüğüyle orantılı olarak yapışma mukavemetleri orantılıdır. Dolayısıyla ezme miktarı %0.25 iken sökülen alan en az olup yapışma mukavemeti en yüksektir. En yüksek oranda yüzeyden boyanın söküldüğü %4.25 ezme miktarında ise yapışma mukavemeti en düşüktür. %15 oranından fazla sökülen alan otomotiv endüstrisinde uygun görülmeyen bir yapışma mukavemeti olduğu göz ardi edilmemelidir (Schirmer ve ark., 2018).



Şekil 7. Cross-cut (çapraz kesim) testi sonrası yüzeyden ayrılan adezyon bantları

Tablo 3. Temper haddeleme testleri neticesinde yüzeylerden sökülen alanlara ait çizelge

Numune adı	A _{sökülen} (%)
S0	8.5
S025	2.5
S075	4.5
S275	17.5
S425	22

Çalışmadan elde edilen bulguların tümü birlikte değerlendirildiğinde temper haddeleme işleminde ezme miktarı artışının merdane yüzeyinden sac malzeme yüzeyine transfer edilen pürüzlülük dokusunun belirgin bir şekilde oluşmasına katkıda bulunduğu görülmektedir. Ezme miktarı arttıkça pürüzlülük parametrelerindeki farklılıklar, boyanın yüzeye yapışmasında farklılıklar oluşmasına sebebiyet vermiştir. Pürüzlülük profilinde ezme miktarı arttıkça (%0-1 aralığında) tepelerin yüksekliklerinde (R_{pk}) ve vadilerin derinliklerinde (R_{vk}) bir azalma meydana gelmiştir. Boyanın yüzeye yapışma mukavemeti de benzer bir davranış sergilediği göz önüne alındığında tepelerin yüksekliklerinin ve vadilerin derinliklerinin boyanın yapışma mukavemetinde oldukça etkili

olduğunu ortaya koymaktadır. Temper haddeleme ezme miktarının artması R_a ve R_k parametrelerinin artmasına sebep olmuştur. Bununla birlikte R_a ve R_k parametrelerinin boyanın yapışma mukavemeti üzerinde net bir etkisinden bahsedilememektedir. Ayrıca ezme miktarının artmasının yüzey sertliğinin de artmasına sebep olmasından ötürü yapışma mukavemetinin azalmasına katkıda bulunduğu söylenebilir (Özakın ve Kurgan, 2022b).

4. Sonuçlar ve Öneriler

Bu çalışmada temper haddelenmiş HC420LA sac malzeme numunelerinin boyanabilme kabiliyetleri çapraz kesim (cross-cut) testinden elde edilmiştir. Ezme miktarı ve yüzey pürüzlülüğünün sac malzemelerin üzerine uygulanan boya kaplamalarının yapışma mukavemetine etkisi değerlendirilen çalışmanın sonuçları ve gelecekte yapılması önerilen çalışmalar aşağıda sunulmaktadır.

- Temper haddeleme ezme miktarı arttıkça yüzeyin pürüzlülük profiline değişimler meydana gelmiştir.
- Temper haddeleme ezme miktarı arttıkça yüzeyin R_a , R_k değerleri haddeleme öncesine göre yaklaşık olarak sırasıyla %30 ve %20 oranında artmıştır. Temper haddeleme ezme miktarı arttıkça (%0-1 aralığında) yüzeyin R_{pk} , R_{vk} değerleri haddeleme öncesine göre yaklaşık olarak sırasıyla %25 ve %10 oranında azalmıştır. %1 oranının üzerindeki ezme miktarı artışlarında R_{pk} ve R_{vk} değerleri haddeleme öncesine göre yaklaşık olarak sırasıyla %80 ve %10 oranında artış sergilemiştir.
- Temper haddeleme ezme miktarı arttıkça (%0-1 aralığında) boyanın yapışma mukavemeti kayda değer bir oranda (haddeleme öncesine göre yaklaşık olarak %50-100) artmıştır. %1 oranının üzerindeki ezme miktarı artışlarında boyanın yapışma mukavemetinin yüksek bir oranda (haddeleme öncesine göre yaklaşık olarak %200-250) azalduğu tespit edilmiştir.
- Yüzey profilindeki tepelerin yükseklikleri ve vadilerin derinlikleri arttıkça boyanın yapışma mukavemetinin azalığı ve bu durumun tersinin de geçerli olduğu sonucuna varılmıştır.
- Gelecekte yapılabilecek araştırmalara bakılacak olursa; sac malzemelere uygulanan farklı boya türlerinin yapışma mukavemetine etkilerini araştıran bir çalışma gelecekte yapılabilir. Ayrıca sac malzemelere uygulanabilen farklı yüzey pürüzlendirme tekniklerinin boya yapışma mukavemetine etkisinin incelendiği araştırma ileride yapılabilecek çalışmalara konu olabilir.

Teşekkür

Bu çalışma, TÜBİTAK 2209-A Üniversite Öğrencileri Araştırma Projeleri Destekleme Programı tarafından desteklenmiştir.

Yazarların Katkısı

Tüm yazarlar çalışmaya eşit katkıda bulunmuştur.

Çıkar Çatışması Beyanı

Yazarlar arasında herhangi bir çıkar çatışması bulunmamaktadır.

Araştırma ve Yayın Etiği Beyanı

Yapılan çalışmada araştırma ve yayın etiğine uyulmuştur.

Kaynaklar

- Almeida, E., Santos, D., and Uruchurtu, J. (1999). Corrosion performance of waterborne coatings for structural steel, *Progress in Organic Coatings*, 37(3-4), 131-140.
- Asmatulu, R., Erukala, K. S., Shinde, M., Alarifi, I. M., and Gorji, M. R. (2019). Investigating the effects of surface treatments on adhesion properties of protective coatings on carbon fiber-reinforced composite laminates, *Surface and Coatings Technology*, 380, 125006.
- Çolak, B., and Kurgan, N. (2018). An experimental investigation into roughness transfer in skin-pass rolling of steel strips, *The International Journal of Advanced Manufacturing Technology*, 96(9), 3321-3330.
- Çolak, B. (2021). How the skin-pass rolling reduction ratio affects the strain aging behaviour of low-carbon steel sheets”, *Ironmaking & Steelmaking*, 48(10), 1254-1260.
- Deyab, M. A., De Riccardis, A., Bloise, E., and Mele, G. (2018). Novel H₂Pc/Epoxy nanocomposites: Electrochemical and mechanical property investigation as anti-corrosive coating”, *Progress in Organic Coatings*, 119, 31-35.
- Eslami, R., Bagheri, R., Hashemzadeh, Y., and Salehi, M. (2014). Optical and mechanical properties of transparent acrylic based polyurethane nano silica composite coatings, *Progress in Organic Coatings*, 77(7), 1184-1190.
- Guo, T., Liu, C., Ran, C., and Dong, X. (2018). Effects of spangle size on performances of hot-dip 55% Al-Zn alloy coating, *International Journal of Electrochemical Science*, 13, 9505-9519.
- Kim, S. K., Kim, M. K., and Jeon, E. C. (1998). A study on the characteristics of electro-discharge texturing for temper mill work roll, *KSME International Journal*, 12(1), 153-159.
- Kim, S. K., and Kim, M. K. (2008). A study on the painting characteristics of waterborne paint for automotive refinish, *Journal of the Korean Society of Manufacturing Process Engineers*, 7(4), 68-75.
- Koh, Y. H., Lee, M. H., and Kim, S. K. (2010). Texture evolution in low-C flat rolled steels on the physical properties. *International Journal of Precision Engineering and Manufacturing*, 11(3), 445-452.
- Monetta, T., Acquesta, A., Bellucci, F. (2015). Graphene/epoxy coating as multifunctional material for aircraft structures, *Aerospace*, 2(3), 423-434.

- Nunes, E., de Oliveira, A. F., Sekeres, T., Wichern, C., and Plaut, R. L. (2014). Inter-relationship among skin pass reduction, 3d and 2d roughness parameters and the stampability/paintability of cold rolled steel sheets for the automotive industry: a preliminary analysis, *In Materials Science Forum*, 783, 1039-1045.
- Özakin, B., ve Kurgan, N. (2019). Temper haddelemede pürüzlülük transferini etkileyen parametrelerin incelenmesine yönelik bir derleme çalışması, *International Periodical of Recent Technologies in Applied Engineering*, 1(2), 67-78.
- Özakin, B., ve Kurgan, N. (2020). DC04 kalite sac malzemelere temper haddeleme ile pürüzlülük transferinde yağlayıcının etkisinin incelenmesi. *Uluslararası Doğu Anadolu Fen Mühendislik ve Tasarım Dergisi*, 2(2), 325-336.
- Özakin, B. (2021). *Temper haddelemede mekanik özellik-yüzey pürüzlendirme ilişkisinin incelenmesi*. Doktora Tezi, Ondokuz Mayıs Üniversitesi Lisansüstü Eğitim Enstitüsü, Samsun.
- Özakin, B., and Kurgan, N. (2021). Experimental investigation of roughness transfer with skin-pass rolling to high strength low alloy (HSLA) material, *Arabian Journal for Science and Engineering*, 46(12), 12137-12144.
- Özakin, B., Çolak, B., and Kurgan, N. (2021). Effect of material thickness and reduction ratio on roughness transfer in skin-pass rolling to DC04 grade sheet materials, *Industrial Lubrication and Tribology*, 73(4), 676-682.
- Özakin, B., ve Kurgan, N. (2022a). AISI 304 paslanmaz çelik sac malzemelere temper haddeleme ile pürüzlülük transferinde haddeleme parametrelerinin etkisinin incelenmesi. *Politeknik Dergisi*, 25(3), 1201-1209.
- Özakin, B., and Kurgan, N. (2022b). Effect of temper rolling reduction ratio on microhardness and microstructure of DC04 grade sheet material. *Bitlis Eren Üniversitesi Fen Bilimleri Dergisi*, 11(2), 393-399.
- Pfester, M., Engel, U., and Geiger, M. (1998). 3D-surface parameters and their application on deterministic textured metal sheets, *International Journal of Machine Tools and Manufacture*, 38(5-6), 607-614.
- Plicht, G., Schillak, H., Lin, M., Edwards, R., Mebrahtu, T., Hofinghoff, H. and Demski, T. (2007). Skin-pass rolling of steel strip using liquid nitrogen, *Materials Science & Technology (MS&T) 2007*, (s. 149-157). Michigan.
- Rodionova, I. G., Amezhnov, A. V., D'yakonov, D. L., Shaposhnikov, N. G., Baklanova, O. N., and Gladchenkova, Y. S. (2020). Study of the effect of microstructure characteristics on corrosion resistance of cold-rolled micro-alloyed sheet steels (HSLA) of strength classes 340–420 for automobile building, *Metallurgist*, 63(11), 1165-1177.
- Scheers, J., Vermeulen, M., De Mare, C., and Meseure, K. (1998). Assessment of steel surface roughness and waviness in relation with paint appearance, *International Journal of Machine Tools and Manufacture*, 38(5-6), 647-656.
- Schirmer, J., Roudenko, J., Reichenberger, M., Neermann, S., and Franke, J. (2018). Adhesion measurements for printed electronics: A novel approach to cross cut testing, *41st International Spring Seminar on Electronics Technology (ISSE)*, (s. 1-5). Zlatibor: University of Novi Sad.
- Wu, C., Zhang, L., Qu, P., Li, S., and Jiang, Z. (2019). A new method for predicting the three-dimensional surface texture transfer in the skin pass rolling of metal strips. *Wear*, 426, 1246-1264.
- Zhao, H., Huang, Z., and Cui, J. (2008). A novel method of electroless plating on AZ31 magnesium alloy sheet, *Journal of Materials Processing Technology*, 203(1-3), 310-314.